



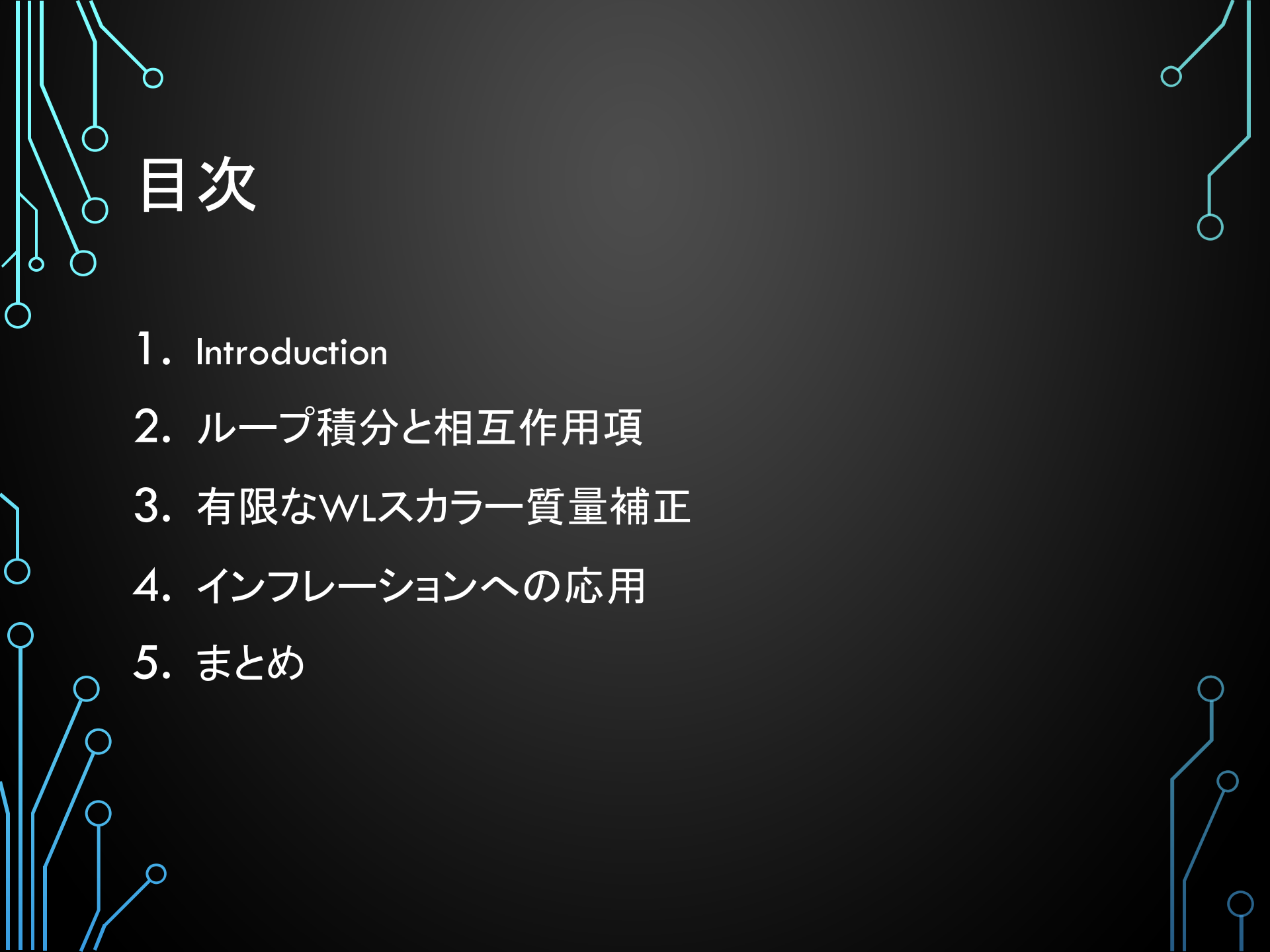
フラックスコンパクト化における スカラー場の有限な質量補正と インフレーションへの応用

共同研究者: 丸信人(大阪市立大学, )

JHEP 06 (2021) 159 [hep-th/2104.01779]

大阪市立大学 素粒子論研究室

D2 廣瀬拓哉



目次

1. Introduction
2. ループ積分と相互作用項
3. 有限なWLスカラー質量補正
4. インフレーションへの応用
5. まとめ

1. Introduction

ヒッグス粒子の発見により、
素粒子標準模型は完成！！

しかし、まだいくつかの
問題がある…



そのうちの1つに、

階層性問題

というものがある。

1. Introduction

階層性問題のアプローチとして…

余剰次元模型+背景磁場(flux)

を考える。このような理論(4次元+2次元)を
トーラス

Flux Compactification

と呼ぶ。

$$A_5 = -\frac{1}{2}fx_6, \quad A_6 = \frac{1}{2}fx_5$$

高次元ゲージ場の配位
 f が背景磁場で x_5, x_6 が高次元座標

1. Introduction

Flux Compactificationにおける高次元ゲージ場の質量補正の計算

W. Buchmuller, M. Dierigl and E. Dudas (2017, 2018)

→6次元スカラ—QED, QED @1-loop

N. Maru and T. H. (2019, 2021)

→6次元SU(2) Yang-Mills理論, +高次元演算子@1-loop

M. Honda and T. Shibasaki (2019)

→6次元QED @2-loop

これらの論文は、高次元ゲージ場(WLスカラー)の質量補正がゼロであることを示している。

高次元ゲージ場=ヒッグス場
したいのに
質量補正がゼロだと困る！



1. Introduction

質量補正が有限になるような
相互作用項を加えられないか？



質量補正の計算を一般化し、
その計算と有限性の観点から相互作用項を推測



結果...

ある特定の形の相互作用項だけ、
質量補正が有限になる！！

NEW

2. ループ積分と相互作用項

Flux Compactificationでは、Kaluza-Klein massが以下のように決まる
(磁場中の量子力学で行う調和振動子の形で求まる)

- スカラー場

$$m_{scalar}^2 = \alpha \left(n + \frac{1}{2} \right) \quad (\alpha = 2gf)$$

- フェルミオン場

$$m_{fermion}^2 = \alpha(n + 1)$$

- SU(2)ゲージ場

$$m_{YM}^2 = \alpha \begin{pmatrix} n_1 & 0 & 0 \\ 0 & n_2 & 0 \\ 0 & 0 & n_3 + 1 \end{pmatrix}$$

2. ループ積分と相互作用項

ループ積分の一般形(次元正則化)

$$\begin{aligned} I(x; a, b) &= \sum_{n=0}^{\infty} \int \frac{d^4 k}{(2\pi)^4} \frac{k^{2a}}{(k^2 + \alpha(n+x))^b} \\ &= \frac{1}{\alpha^{b-a}} \left(\frac{4\pi}{\alpha} \right)^{\epsilon-2} \boxed{\frac{\Gamma(a+2-\epsilon)\Gamma(\epsilon+b-a-2)}{\Gamma(b)\Gamma(2-\epsilon)} \zeta[\epsilon+b-a-2, x]} \end{aligned}$$

x: それぞれの場に対応するKK質量の値



頑張って計算すると...

$$\Gamma(\epsilon - 1) \zeta[\epsilon - p, x] = \text{有限} \quad (p \text{が偶数の場合})$$

この条件とa(相互作用項の中の微分の数), b(propagatorの数)から

有限な質量補正を生み出す相互作用項が分かる！！

2. ループ積分と相互作用項

4点相互作用項($b=1$)

- スカラ一場 : $\bar{\varphi}\varphi\partial_{\mu_1} \dots \partial_{\mu_a} \bar{\Phi}\partial^{\mu_1} \dots \partial^{\mu_a} \Phi$
- フェルミオン場 : $\bar{\varphi}\varphi\bar{\psi}(\not{D})^{2a-1}\psi$
- SU(2)ゲージ場 : $\bar{\varphi}\varphi\partial_{\mu_1} \dots \partial_{\mu_a} A_\nu^a \partial^{\mu_1} \dots \partial^{\mu_a} A^{a\nu}$

3点相互作用項($b=2$)

微分がなく、
最も簡単な形！

- スカラ一場 : $\bar{\varphi}\bar{\Phi}\Phi + \varphi\bar{\Phi}\Phi$
 $\bar{\varphi}\partial_{\mu_1} \dots \partial_{\mu_{a/2}} \bar{\Phi}\partial^{\mu_1} \dots \partial^{\mu_{a/2}} \Phi + \varphi\partial_{\mu_1} \dots \partial_{\mu_{a/2}} \bar{\Phi}\partial^{\mu_1} \dots \partial^{\mu_{a/2}} \Phi$
- フェルミオン場 : $\bar{\varphi}\bar{\psi}(\not{D})^{a-1}\psi + \varphi\bar{\psi}(\not{D})^{a-1}\psi$
- SU(2)ゲージ場 : $\bar{\varphi}\partial_{\mu_1} \dots \partial_{\mu_{a/2}} A_\nu^a \partial^{\mu_1} \dots \partial^{\mu_{a/2}} A^{a\nu} + \varphi\partial_{\mu_1} \dots \partial_{\mu_{a/2}} A_\nu^a \partial^{\mu_1} \dots \partial^{\mu_{a/2}} A^{a\nu}$

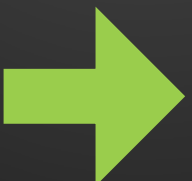
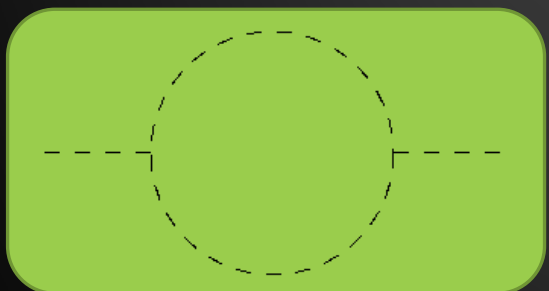
3. 有限なWLスカラーー質量補正

考える理論(6次元スカラーーQED+新たな相互作用)

$$\mathcal{L} = -\frac{1}{4}F_{MN}F^{MN} - D_M\bar{\Phi}D^M\Phi + \kappa(\bar{\phi}\bar{\Phi}\Phi + \phi\bar{\Phi}\Phi)$$

↓WLスカラーー

$$(\phi = \langle\phi\rangle + \varphi)$$



$$\mathcal{I} = -i \frac{\kappa^2 |N| \ln 2}{32\pi^2} \left(\frac{4\pi}{\alpha} \right)^\epsilon + \mathcal{O}(\epsilon)$$

$$\delta m^2 = i\mathcal{I} = \frac{|N| \ln 2}{32\pi^2} \frac{\kappa^2}{L^2}$$

※上の結果は1-loop有効ポテンシャルでも再現できる

3. 有限なWLスカラー質量補正

考える理論(スカラーQED+新たな相互作用)

$$\delta m^2 = i\mathcal{I} = \frac{|N| \ln 2}{32\pi^2} \frac{\kappa^2}{L^2}$$

- $\kappa=0$: 先行研究の結果である、質量補正が相殺することを再現
- $\kappa \neq 0$: 有限の質量が生成！

例えば、コンパクト空間の長さ(の逆数)がPlanck質量程度でも

$$\kappa \sim \mathcal{O}(m_{Higgs}/m_{Planck})$$

であれば、Higgsの質量を説明できる！！

3. 有限なWLスカラーフィールド質量補正

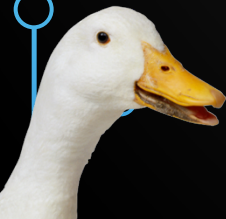
Q.なぜ有限の質量補正が生成された？



A.新しく加えた相互作用項がトーラス並進変換で不変でないから

- $\kappa=0$ だと、質量項がないラグランジアンはこの変換で不変
- $\kappa\neq 0$ だと、 $\varphi\Phi\Phi$ はこの変換で不変でない
→ φ は擬NGボソン、少しだけ質量が生まれる！

π中間子と同じ議論





今回の結果を
他の物理に使えないか？



Extrnatural Flux Inflation

T. H. and N. Maru [[hep-th/ 2105.11782](#)]

4.

インフレーションへの応用

$$\mathcal{L} = -\frac{1}{4}F_{MN}F^{MN} - D_M\bar{\Phi}D^M\Phi + \kappa(\bar{\phi}\bar{\Phi}\Phi + \phi\bar{\Phi}\Phi)$$

WLスカラー=インフラトンとしたい

高次元由来のインフレーション理論自体はすでに存在している

N. Arkani-Hamed, H. C. Cheng, P. Creminelli and L. Randall (2003)

→ 5次元理論で5次元目のゲージ場をインフラトン

T. Inami, Y. Koyama, C.-M. Lin and S. Minakami (2011)

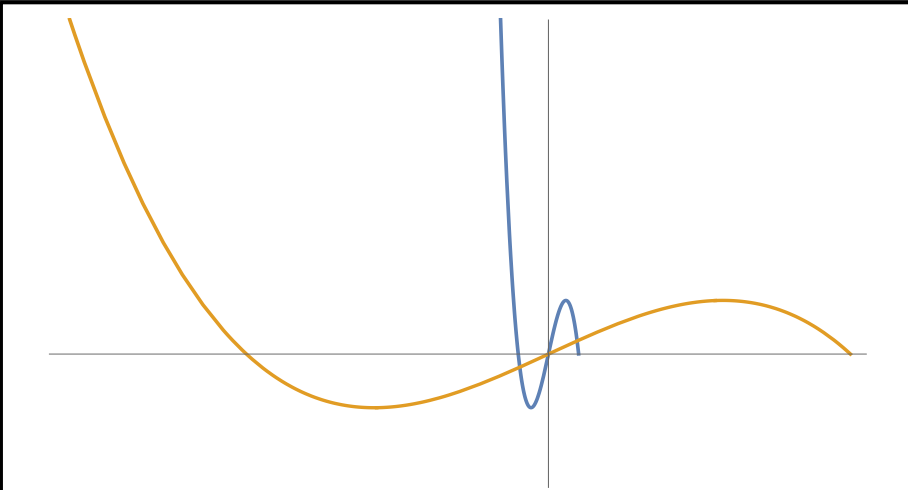
→ 6次元理論で5次元目のゲージ場をインフラトン

4. インフレーションへの応用

インフラトンの有効ポテンシャル

$$V = -N \frac{\alpha^2}{16\pi^2} \lim_{\epsilon \rightarrow 0} \Gamma(\epsilon - 2) \zeta \left[\epsilon - 2, \frac{1}{2} - 2xy \right]$$

$$z = \frac{\varphi}{M_P}, \quad y = M_P \frac{\kappa}{\alpha}, \quad \text{Re } z = x$$

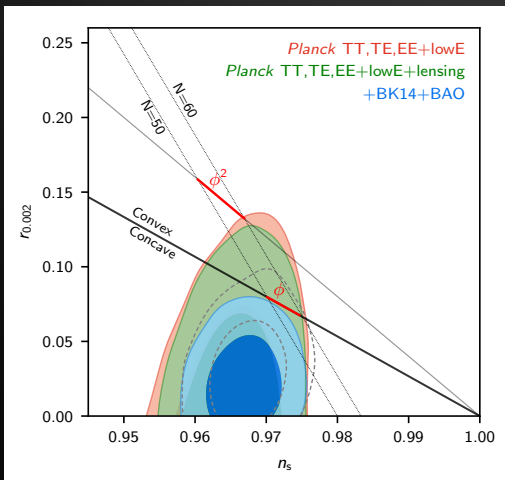


青線: $y=1$
黄線: $y=0.1$

4. インフレーションへの応用

- スローロールパラメーター ε 、 η
- e-folding N_*
- スペクトル指数 n_s 、テンソル-スカラービー

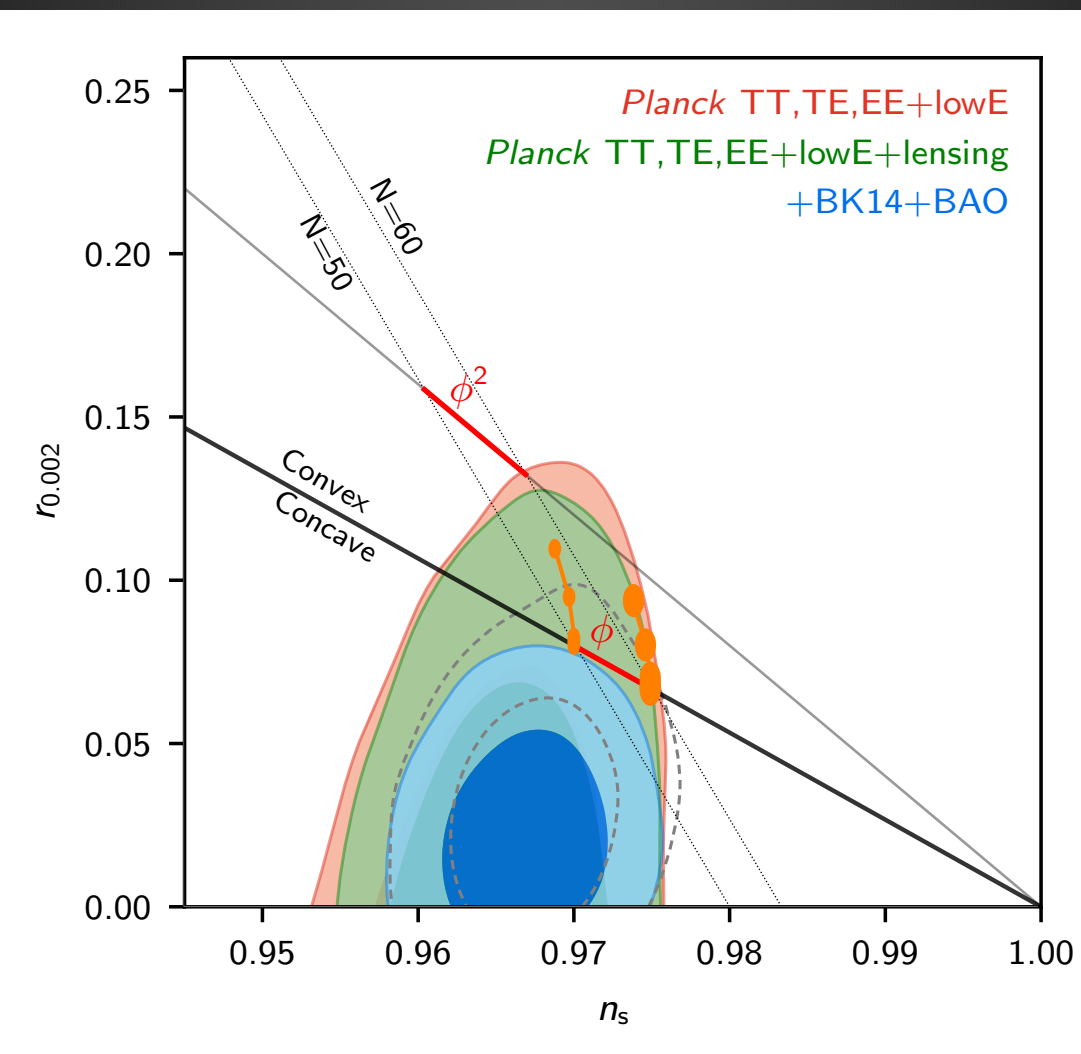
これらを我々のモデルで計算し、Planck 2018の観測結果と比較する



特にこの結果と比較したい

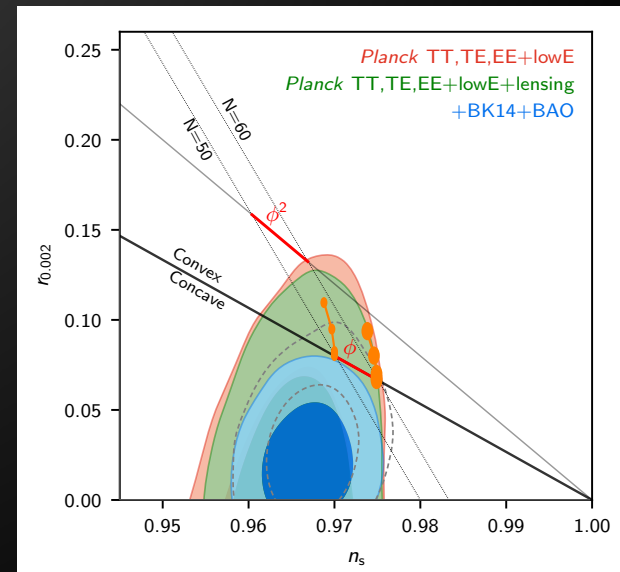
4.

インフレーションへの応用



5. まとめ

- Flux Compactificationでループ積分を一般化
- ループ積分が有限になる条件を導出
→ $\bar{\varphi}\Phi\Phi + \varphi\bar{\Phi}\Phi$ という相互作用項がシンプルで物理も面白そう！
- 上記の相互作用項から、有限の質量補正が生成
$$\delta m^2 = i\mathcal{I} = \frac{|N| \ln 2}{32\pi^2} \frac{\kappa^2}{L^2}$$
- Higgsの質量と関係付けられる可能性
- Flux Compactificationでインフレーション機構を提唱
- 上記の相互作用項を入れることで、平坦でないポテンシャルが生成
- n_s とrを計算し、Planckの結果と比較



5. まとめ

課題はまだある。。。

- $\kappa \sim \mathcal{O}(m_{Higgs}/m_{Planck})$ のような値が出るダイナミクスがあるか
- そもそも新たに加えたスカラー場の何者か
- $\varphi\Phi\Phi$ の起源となる項は何か
- ゲージ・ヒッグス統一理論や、より現実的なモデルへの拡張
- WLスカラー = Higgs = インフラトンとして Higgs inflation へ拡張？

補足

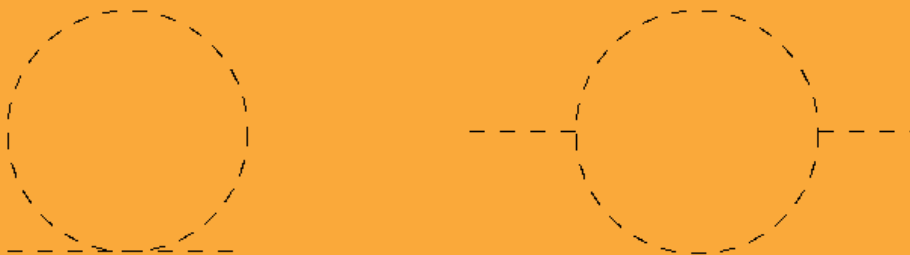
fluxがある利点は？



1. カイラルな理論が得られる D. Cremades, L. E. Ibanez and F. Marchesano (2004)
2. Yukawa couplingの計算ができる 同上
3. SUSYの破れの議論にも使える C. Bachas (1995)
4. 世代数の説明が可能

補足

ループ積分は次のFeynman図を想定



一般形(次元正則化)

$$\begin{aligned} I(x; a, b) &= \sum_{n=0}^{\infty} \int \frac{d^4 k}{(2\pi)^4} \frac{k^{2a}}{(k^2 + \alpha(n+x))^b} \\ &= \frac{1}{\alpha^{b-a}} \left(\frac{4\pi}{\alpha}\right)^{\epsilon-2} \frac{\Gamma(a+2-\epsilon)\Gamma(\epsilon+b-a-2)}{\Gamma(b)\Gamma(2-\epsilon)} \zeta[\epsilon+b-a-2, x] \end{aligned}$$

↑Hurwitz ζ関数

x: それぞれの場に対応するKK質量の値

補足

ループ積分はもう少し一般化できる

$$\begin{aligned} I'(x; a, b) &= \sum_{n=0}^{\infty} \int \frac{d^4 k}{(2\pi)^4} \frac{k^{2a} f(n)}{(k^2 + \alpha(n+x))^b} \\ &= \frac{1}{(4\pi)^{d/2}} \frac{\Gamma(a + \frac{d}{2}) \Gamma(b - a - \frac{d}{2})}{\Gamma(b) \Gamma(\frac{d}{2})} \sum_{n=0}^{\infty} \frac{f(n)}{(\alpha(n+x))^{b-a-\frac{d}{2}}}, \end{aligned}$$

↙KKモードに依存する係数

4点相互作用項($b=1$)

- スカラ一場 : $\bar{\varphi} \varphi \bar{\Phi} \left(a^\dagger a + \frac{1}{2} \right) \Phi$
- フェルミオン場 : $\bar{\varphi} \varphi \partial_{\mu_1} \cdots \partial_{\mu_a} \bar{\Phi} \left(a^\dagger a + \frac{1}{2} \right) \partial^{\mu_1} \cdots \partial^{\mu_a} \Phi$
- SU(2)ゲージ場 : $\bar{\varphi} \varphi \bar{\psi} (\not{D})^{2a-1} (a^\dagger a + 1) \psi$
- $SU(2)$ ゲージ場 : $\bar{\varphi} \varphi \partial_{\mu_1} \cdots \partial_{\mu_a} A_\nu^a (a^\dagger a) \partial^{\mu_1} \cdots \partial^{\mu_a} A_\mu^a$

補足

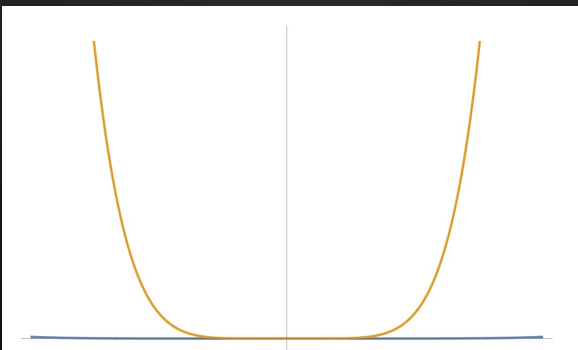
インフラトンの有効ポテンシャル

$$\text{本編} \rightarrow V = -N \frac{\alpha^2}{16\pi^2} \lim_{\epsilon \rightarrow 0} \Gamma(\epsilon - 2) \zeta \left[\epsilon - 2, \frac{1}{2} - 2xy \right] \quad (g \ll \kappa L)$$

$$\text{別ケース} \rightarrow V = -N \frac{\alpha^2}{16\pi^2} \lim_{\epsilon \rightarrow 0} \Gamma(\epsilon - 2) \zeta \left[\epsilon - 2, \frac{1}{2} - 2xy + 4Gx^2 \right] \quad (g \gg \kappa L)$$

$$z = \frac{\varphi}{M_P}, \quad y = M_P \frac{\kappa}{\alpha}, \quad x = \text{Re } z, \quad G = \frac{g^2 M_P^2}{\alpha}$$

$g \gg \kappa L$ の場合、 n_s と r の値が Planck 2018 の結果と整合しない



青線: $G=10^3$
黄線: $G=10^2$

補足

γ の値:大



γ の値:小

	ϵ	η	n_s	r
A_{50}	0.00683107	0.00494671	0.968907	0.109297
A_{60}	0.00582958	0.00444092	0.973904	0.0932733
B_{50}	0.00594149	0.00271376	0.969779	0.0950639
B_{60}	0.00502904	0.00245613	0.974738	0.0804646
C_{50}	0.00517205	0.000586594	0.970141	0.0827528
C_{60}	0.00432933	0.000534704	0.975093	0.0692693
D_{50}	0.00507359	0.000296245	0.970151	0.0811775
D_{60}	0.00423959	0.000270297	0.975103	0.0678334
E_{50}	0.00499408	0.0000597248	0.970155	0.0799053
E_{60}	0.00416705	0.0000545352	0.975107	0.0666728

Table 2: Inflation parameters ϵ, η, n_s, r obtained from our model.

Planck 2018によると、

$$n_s = 0.9649 \pm 0.0042, \quad r < 0.10$$